

SUMATORY RÓWNOLEGŁE

Zamienność dodawania i odejmowania

W systemie **pozycyjnym i uzupełnieniowym używając dopełnień** można zastąpić odejmowanie dodawaniem i *vice versa*:

$$\mathbf{X} - \mathbf{Y} = \overline{\overline{\mathbf{X}} + \mathbf{Y}}$$

$$\mathbf{X} + \mathbf{Y} = \overline{\overline{\mathbf{X}} - \mathbf{Y}} = \overline{\mathbf{Y} - \mathbf{X}}$$

Zależność ta jest też widoczna w logicznych strukturach dodawania i odejmowania

Ponieważ $\mathbf{0} - \mathbf{Y} = \overline{\mathbf{Y}} + ulp$, gdzie $ulp = \beta^{-m}$ (o reprezentacji $\{0, \dots, 0, 1\}$), więc mamy także

$$\mathbf{X} - \mathbf{Y} = \mathbf{X} + \underline{\mathbf{Y}} = \mathbf{X} + \overline{\mathbf{Y}} + ulp$$

$$\begin{aligned} \mathbf{X} + \mathbf{Y} &= \mathbf{X} - \underline{\mathbf{Y}} = \mathbf{X} - \overline{\mathbf{Y}} - ulp = \\ &= \mathbf{Y} - \underline{\mathbf{X}} = \mathbf{Y} - \overline{\mathbf{X}} - ulp \end{aligned}$$

Możliwe jest więc utworzenie uniwersalnego **układu dodająco-odejmującego**.

Logika dodawania i odejmowania

Logika dodawania i odejmowania pozycyjnego:

Dla danych $x_i, y_i \in \{0, 1, \dots, \beta - 1\}, c_i \in \{0, 1\}$ istnieją $s_i \in \{0, 1, \dots, \beta - 1\}, c_{i+1} \in \{0, 1\}$ takie, że

$$\begin{aligned} x_i + y_i + c_i &= \beta c_{i+1} + s_i, \\ x_i - y_i - c_i &= -\beta c_{i+1} + s_i, \end{aligned} \quad \text{gdzie } x_i, y_i, s_i \in \{0, 1, \dots, \beta - 1\}, c_i \in \{0, 1\},$$

czemu odpowiada iteracyjne (kaskadowe) powiązanie pozycji.

W podstawie $\beta=2$ równaniom arytmetycznym odpowiadają funkcje logiczne:

$$\text{dodawanie} \quad \overline{X+Y} = \overline{X} - Y = \overline{Y} - X$$

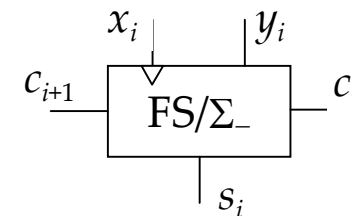
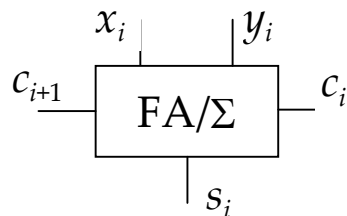
$$s_i = x_i \oplus y_i \oplus c_i = h_i \oplus c_i$$

$$\begin{aligned} \text{sumator:} \quad c_{i+1} &= x_i y_i + (x_i \oplus y_i) c_i = \\ &= x_i y_i + (x_i + y_i) c_i = g_i + p_i c_i \end{aligned}$$

$$\text{odejmowanie} \quad \overline{X-Y} = \overline{X} + Y$$

$$\bar{s}_i = \bar{x}_i \oplus y_i \oplus c_i = h_i \oplus c_i$$

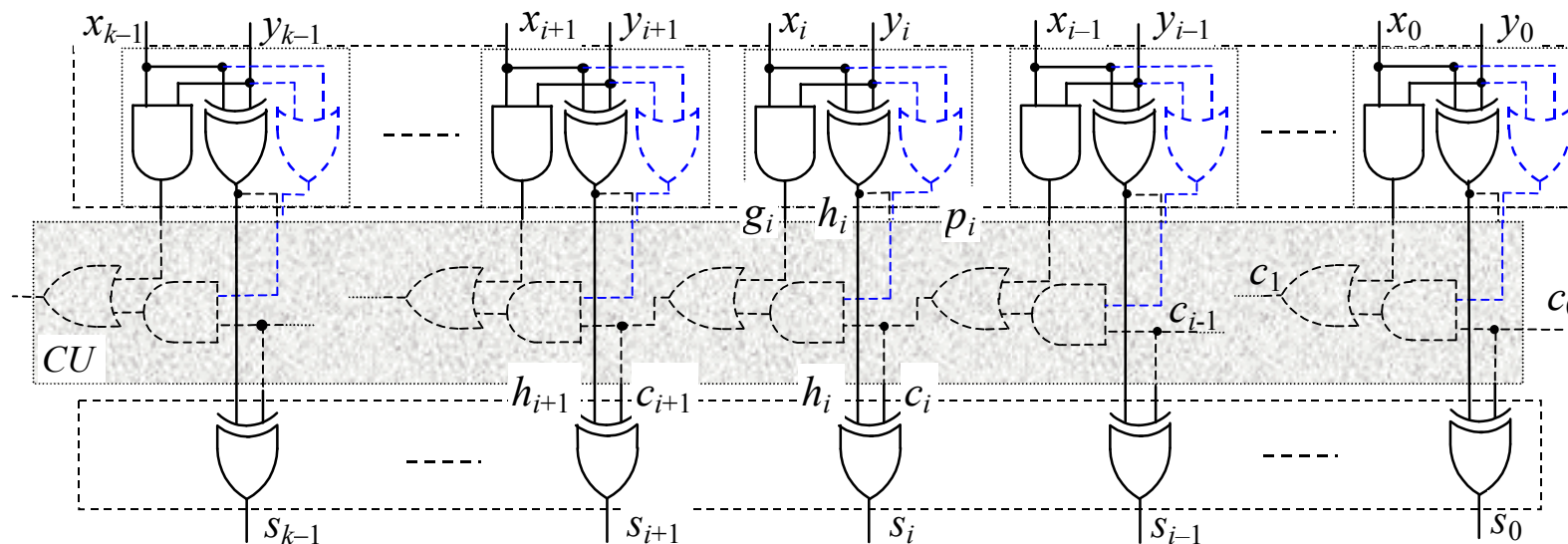
$$\begin{aligned} \text{subtraktor:} \quad c_{i+1} &= \bar{x}_i y_i + (\bar{x}_i \oplus y_i) c_i = \\ &= \bar{x}_i y_i + (\bar{x}_i + y_i) c_i = g_i + p_i c_i \end{aligned}$$



Schemat dodawania/odejmowania w systemach dwójkowych

W podstawowym układzie dodawania/odejmowania można wyróżnić 3 bloki:

- blok wejściowy do równoległego tworzenia funkcji pomocniczych h_i , g_i , p_i ($h_i = g_i \oplus p_i$)
- blok wytwarzania przeniesień c_i
- blok tworzenia sum s_i



Sumator kaskadowy RCA (ang. *Ripple-Carry Adder*) – sekwencyjne tworzenie przeniesień
(w układzie odejmującym zmienia się tylko struktura bloku wejściowego)

Analiza szybkości dodawania i odejmowania

- * czas sekwencyjnego dodawania/odejmowania n -pozycyjnego jest rzędu nT
- * w systemie dwójkowym: suma lub różnica jest wartością funkcji logicznej $2n$ zmiennych, którą można wytworzyć w układzie o głębokości logicznej $\lceil \log_2 2n \rceil$

Propagacja przeniesienia

- obliczenie sumy/różnicy na pozycji $i+1$ wymaga użycia przeniesienia z pozycji i :

$$s_i = x_i \oplus y_i \oplus c_i = h_i \oplus c_i$$

- kolejne przeniesienia są powiązane rekurencyjnie:

$$c_{i+1} = g_i + p_i c_i$$

- gwarantowany czas wykonania dodawania/odejmowania zależy od **szybkości wytworzenia przeniesienia** na najwyższej pozycji
- czas T wytworzenia sumy/różnicy – stały od chwili ustalenia przeniesienia

Inne metody

W sieciach logicznych efekt przyspieszenia można uzyskać także przez:

- *tworzenie i składanie alternatywnych sum pozycyjnych ($s_i^0 = h_i \oplus 0$, $s_i^1 = h_i \oplus 1$) oraz grupowych (dla alternatywnych wartości przeniesień wejściowych do grupy pozycji)*
- *wykorzystanie nadmiarowej reprezentacji argumentów (np. kod SD)*

Przyspieszanie dodawania dwuargumentowego

Przyspieszanie wytwarzania przeniesień

- antycypacja przeniesień (*carry look-ahead adder*, CLA)
 - tworzenie przeniesień dla kilku (zwykle 4) sąsiednich pozycji
- równoległe wytwarzanie przeniesień (*parallel prefix adder*, PPA), albo
 - korekcja sum tymczasowych aktualizowanym przeniesieniem (ELM)
- skracanie ścieżki propagacji przeniesienia (*carry skip adder*, CSA)

Składanie sum tymczasowych

- sumator z przełączaniem sum częściowych (*carry-select adder*, CSLA)
 - równoległe wytwarzanie alternatywnych blokowych sum częściowych
- składanie sum warunkowych (*conditional sum adder*, COSA)
 - tworzenie wariantowych sum dla bloków 2^i kolejnych pozycji
- korekcja półsum (*carry-increment adder*, CIA)
 - korekcja sum blokowych przeniesieniami

Składanie sum częściowych jest de facto zrównolegleniem wytwarzania sum wraz z przeniesieniami sterującymi tym składaniem ...

Wytwarzanie i propagacja przeniesień w dodawaniu dwójkowym

Funkcja przeniesienia może mieć jedną z równoważnych form

$$c_{i+1} = x_i y_i + (x_i \oplus y_i) c_i = x_i y_i + (x_i + y_i) c_i$$

ponieważ $a+b=a\oplus b+ab$ ($OR(a,b)=XOR(a,b)+ab$). Składowymi wyrażenia są:

- funkcja *wytwarzania* (*generowania*) przeniesienia, określająca stan, który wymusza przeniesienie wyjściowe $c_{i+1}=1$, niezależnie od c_i :

$$g_i = x_i y_i,$$

- funkcja *przekazywania* (*propagacji*) przeniesienia ($x_i \neq y_i \Rightarrow c_{i+1} = c_i$)

$$p_i = x_i \oplus y_i \quad \text{lub} \quad p_i = x_i + y_i = \bar{k}_i$$

która jednocześnie określa tzw. *pół-sumę*

$$h_i = x_i \oplus y_i$$

W wyrażeniach określających przeniesienia może też być użyta

- funkcja *wygaszania* (*kasowania*) przeniesienia (wymuszenie $c_{i+1}=0$)

$$k_i = \overline{x_i + y_i}$$

Wytwarzanie i propagacja przeniesień w odejmowaniu dwójkowym

Funkcja *pożyczki* (przeniesienia wstecznego) może mieć jedną z form

$$c_{i+1} = \bar{x}_i y_i + (\bar{x}_i \oplus y_i) c_i = \bar{x}_i y_i + (\bar{x}_i + y_i) c_i$$

ponieważ $a+b=a\oplus b+ab$ ($OR(a,b)=XOR(a,b)+ab$). Składowymi wyrażenia są:

- funkcja *wytwarzania* (*generowania*) pożyczki, określająca stan, który wymusza *pożyczkę* z wyższej pozycji $c_{i+1}=1$, niezależnie od c_i :

$$g_i = \bar{x}_i y_i,$$

- funkcja *propagacji* (*przekazywania*) pożyczki ($x_i = y_i \Rightarrow c_{i+1} = c_i$):

$$p_i = \bar{x}_i \oplus y_i \quad \text{lub} \quad p_i = \bar{x}_i + y_i = \bar{k}_i$$

która jednocześnie określa tzw. *pół-różnicę*

$$h_i = \bar{x}_i \oplus y_i$$

W wyrażeniach określających pożyczki równoważnie może też być użyta

- funkcja *wygaszania* (*kasowania*) pożyczki (wymuszenie $c_{i+1}=0$)

$$k_i = \overline{\bar{x}_i + y_i}$$

Powiązania przeniesień^{*)}

Struktura logiczna sieci przeniesień i pożyczek jest jednakowa

$$c_{i+1} = g_i + p_i c_i$$

$$c_{i+2} = g_{i+1} + p_{i+1} g_i + p_{i+1} p_i c_i = (g_{i+1} + p_{i+1} g_i) + (p_{i+1} p_i) c_i$$

$$c_{i+3} = g_{i+2} + p_{i+2} (g_{i+1} + p_{i+1} g_i + p_{i+1} p_i c_i) = [g_{i+2} + p_{i+2} (g_{i+1} + p_{i+1} g_i)] + [p_{i+2} (p_{i+1} p_i)] c_i$$

gdzie $g_i = x_i y_i$, $p_i = x_i \oplus y_i$ w dodawaniu, albo $g_i = \bar{x}_i y_i$, $p_i = \bar{x}_i \oplus y_i$ w odejmowaniu.

Jak widać, każde z tych wyrażeń zawiera dwa składniki powiązane rekurencyjnie:

- opisujący warunki wystarczające do *generowania (wymuszenia)* przeniesienia wyjściowego =1 niezależnie od przeniesienia wejściowego,
- określający *propagację (przepływ)* przeniesienia z niższej pozycji do wyjścia.

Oznaczając te składniki jako: ($i \geq j$)

$$\text{generowanie: } G_{i:j} = g_i + p_i g_{i-1} + p_i p_{i-1} g_{i-2} + \dots + p_i \dots p_{j+1} g_j, \quad G_{i:i} = g_i$$

$$\text{propagacja: } P_{i:j} = p_i p_{i-1} \dots p_j, \quad P_{i:i} = p_i$$

otrzymujemy ogólną zależność $c_{i+1} = G_{i:j} + P_{i:j} c_j$

Powiązania funkcji $G_{i:j}$ i $P_{i:j}$ i związki przeniesień można łatwo opisać przy użyciu *podstawowego operatora przeniesień* znanego też jako *operator Brenta-Kunga*.

Podstawowy operator przeniesień

Podstawowy operator przeniesień (ang. *fundamental carry operator*) jest zdefiniowany tak:

$$(f, g) = (x, y) \circ (v, z) = (x + yv, yz)$$

opisuje *rekurencyjne powiązanie kolejnych przeniesień*:

$$(c_{i+1}, \dots) = (g_i, p_i) \circ (c_i, \dots)$$

Operator ten jest **obustronnie łączny** (ang. *associative*) lecz **nie jest przemienne**:

$$[(x, y) \circ (q, r)] \circ (a, b) = (x + yq, yr) \circ (a, b) = (x + yq + yra, yrb),$$

$$(x, y) \circ [(q, r) \circ (a, b)] = (x, y) \circ (q + ra, rb) = (x + yq + yra, yrb).$$

Przy jego użyciu powiązanie dowolnych przeniesień można przedstawić jako ($i \geq j$):

$$(c_{i+1}, \dots) = (g_i, p_i) \circ (g_{i-1}, p_{i-1}) \circ \dots \circ (g_j, p_j) \circ (c_j, \dots) = (G_{i:j} + P_{i:j}) \circ (c_j, \dots)$$

Ale każde przeniesienie zależy od c_0 , więc (*argument ... jest nieistotny, może być 0*)

$$(c_{i+1}, \dots) = (g_i, p_i) \circ \dots \circ (g_2, p_2) \circ (g_1, p_1) \circ (g_0, p_0) \circ (c_0, \dots) = (G_{i:0} + P_{i:0}c_0, \dots)$$

Rekurencyjnie skojarzone są też funkcje $(G_{i:j}, P_{i:j}) = (g_i, p_i) \circ (g_{i-1}, p_{i-1}) \circ \dots \circ (g_j, p_j)$

$$G_{i:j} = G_{i:k} + P_{i,k}G_{k-1:j}, \quad i \geq k > j$$

$$P_{i:j} = P_{i,k}P_{k-1:j}$$

Obliczanie funkcji rekurencyjnie skojarzonych – *problem prefiksowy*.

Tworzenie przeniesień

Z uwagi na łączność operatora Brenta-Kunga, poszczególne przeniesienia:

$$\begin{aligned}(c_{i+1}, 0) &= (g_i, p_i) \circ \dots \circ (g_3, p_3) \circ (g_2, p_2) \circ (g_1, p_1) \circ (g_0, p_0) \circ (c_0, 0) = (G_{i:0} + P_{i:0}c_0, 0) = \\ &= (g_i, p_i) \circ \dots \circ (g_3, p_3) \circ (g_2, p_2) \circ (g_1, p_1) \circ (g_0 + p_0c_0, 0) = (G_{i:0}^*, 0)\end{aligned}$$

można wytwarzać wieloma sposobami:

– **sekwencyjnie** (po kolei) – struktura RC (ang. *Ripple-Carry*):

$$(c_1, 0) = (g_0, p_0) \circ (c_0, 0), (c_2, 0) = (g_1, p_1) \circ (c_1, 0), (c_3, 0) = (g_2, p_2) \circ (c_2, 0), \dots$$

– **jednocześnie w grupach** po k pozycji – struktura CL (ang. *Carry Lookahead*):

$$(c_{i+1}, 0) = (g_i, p_i) \circ (c_i, 0),$$

$$(c_{i+2}, 0) = (g_{i+1}, p_{i+1}) \circ (g_i, p_i) \circ (c_i, 0),$$

$$(c_{i+3}, 0) = (g_{i+2}, p_{i+2}) \circ (g_{i+1}, p_{i+1}) \circ (g_i, p_i) \circ (c_i, 0),$$

...

$$(c_{i+k}, 0) = (g_{i+k-1}, p_{i+k-1}) \circ \dots \circ (g_{i+1}, p_{i+1}) \circ (g_i, p_i) \circ (c_i, 0),$$

– **w pełni równolegle** – struktura prefiksowa PP (ang. *Parallel Prefix*), np. tak:

$$\begin{aligned}(c_{i+1}, 0) &= (g_i, p_i) \circ \dots \circ [(g_5, p_5) \circ (g_4, p_4)] \circ [(g_3, p_3) \circ (g_2, p_2)] \circ [(g_1, p_1) \circ (g_0, p_0)] \circ (c_0, 0) = \\ &= (g_i, p_i) \circ \dots \circ [(g_5, p_5) \circ (g_4, p_4)] \circ \{[(g_3, p_3) \circ (g_2, p_2)] \circ [(g_1, p_1) \circ (g_0, p_0)]\} \circ (c_0, 0)\end{aligned}$$

Sumator z antycypacją przeniesień (*carry look-ahead adder, CLA*)

Kolekcję przeniesień na kolejne pozycje

$$(c_{i+1}, 0) = (g_i, p_i) \circ (c_i, 0),$$

$$(c_{i+2}, 0) = (g_{i+1}, p_{i+1}) \circ (g_i, p_i) \circ (c_i, 0),$$

$$(c_{i+3}, 0) = (g_{i+2}, p_{i+2}) \circ (g_{i+1}, p_{i+1}) \circ (g_i, p_i) \circ (c_i, 0), \dots$$

można tworzyć jednocześnie jako funkcje logiczne wielu zmiennych (np. $k=4$):

$$c_{i+1} = g_i + p_i c_i$$

$$c_{i+2} = g_{i+1} + p_{i+1} g_i + p_{i+1} p_i c_i$$

$$c_{i+3} = g_{i+2} + p_{i+2} g_{i+1} + p_{i+2} p_{i+1} g_i + p_{i+2} p_{i+1} p_i c_i$$

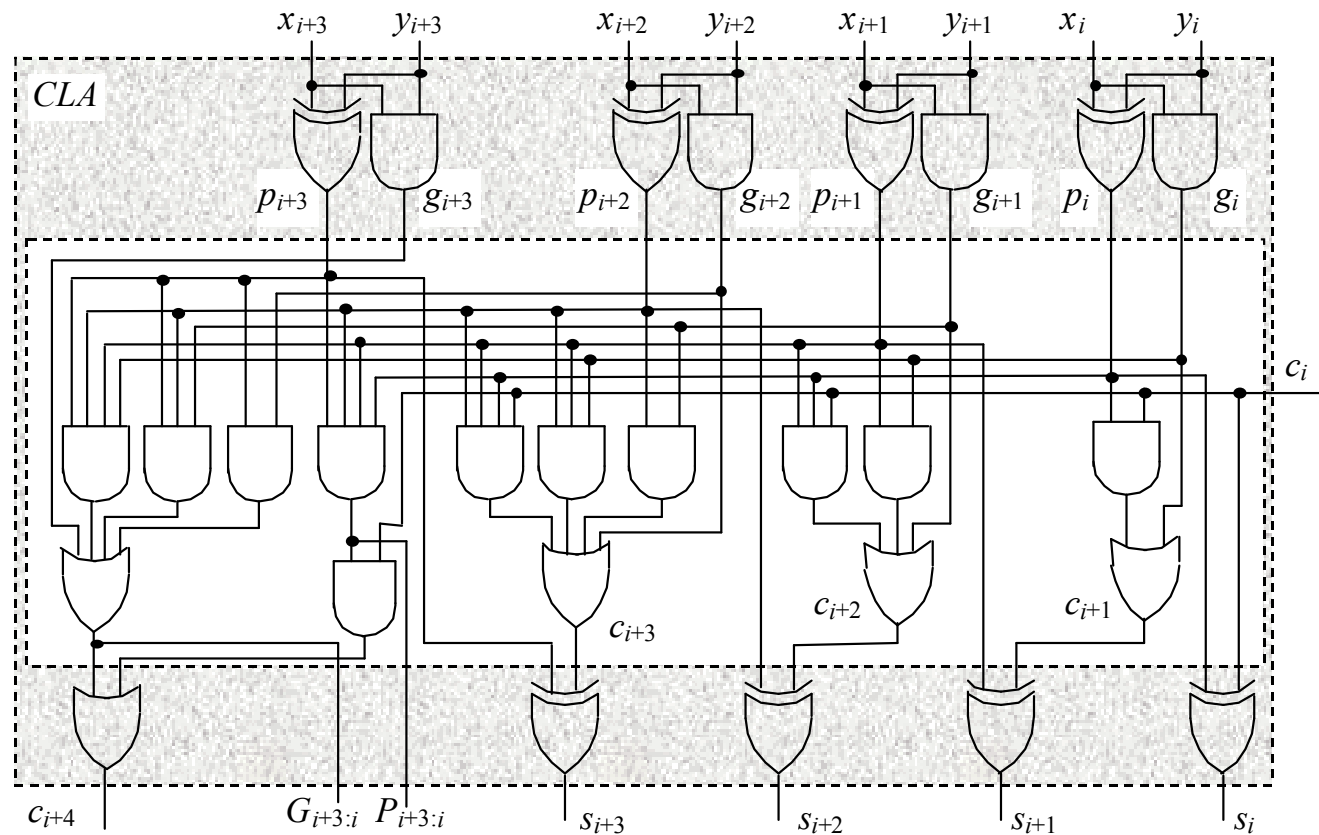
$$c_{i+4} = g_{i+3} + p_{i+3} g_{i+2} + p_{i+3} p_{i+2} g_{i+1} + p_{i+3} p_{i+2} p_{i+1} g_i + p_{i+3} p_{i+2} p_{i+1} p_i c_i$$

i odpowiednio wyznaczyć kilka kolejnych bitów sumy, ale:

- złożoność funkcji c_{i+r} rośnie z kwadratem zasięgu r ,
- ograniczona jest liczba wejść bramki i jej obciążenie prądowe (technologia)

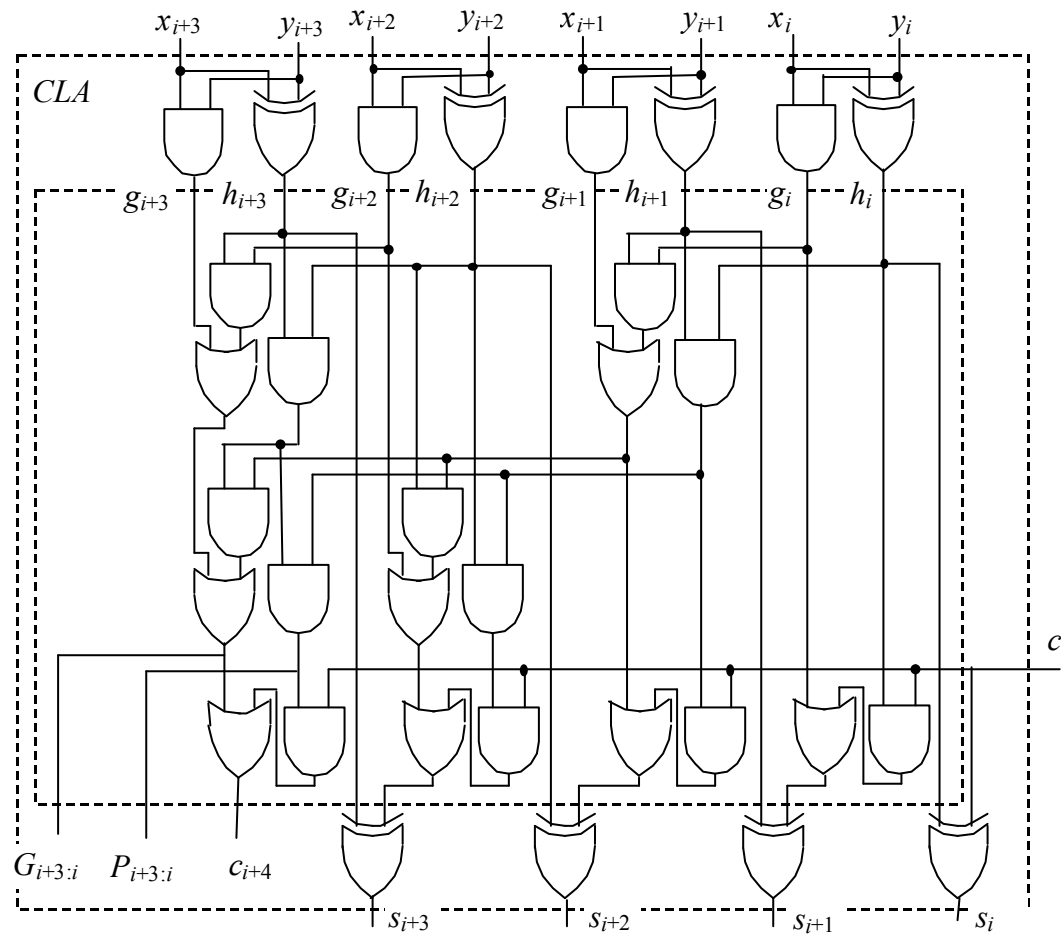
Wyznaczywszy funkcje $(G_{i,i+r-1}, P_{i,i+r-1})$ można za ich pomocą powiązać r -bitowe moduły CLA (typowo $r=4$) w sumator $n \cdot r$ -pozycyjny, tworząc blok CLG.

Moduł sumatora z antycypacją przeniesień (CLA)

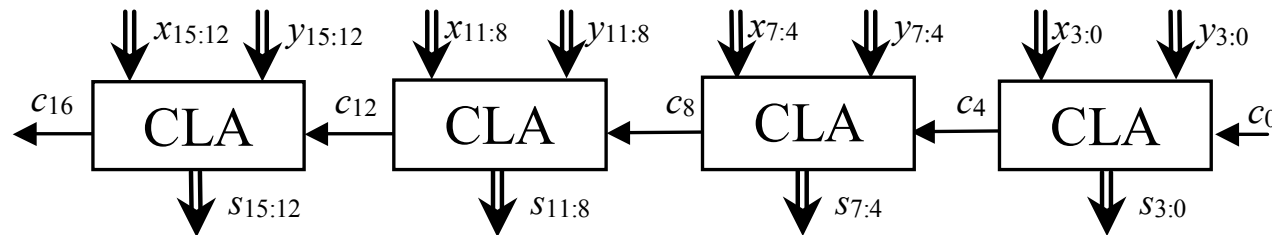


Czterobitowy sumator CLA z sygnałami G,P dla bloku CLG

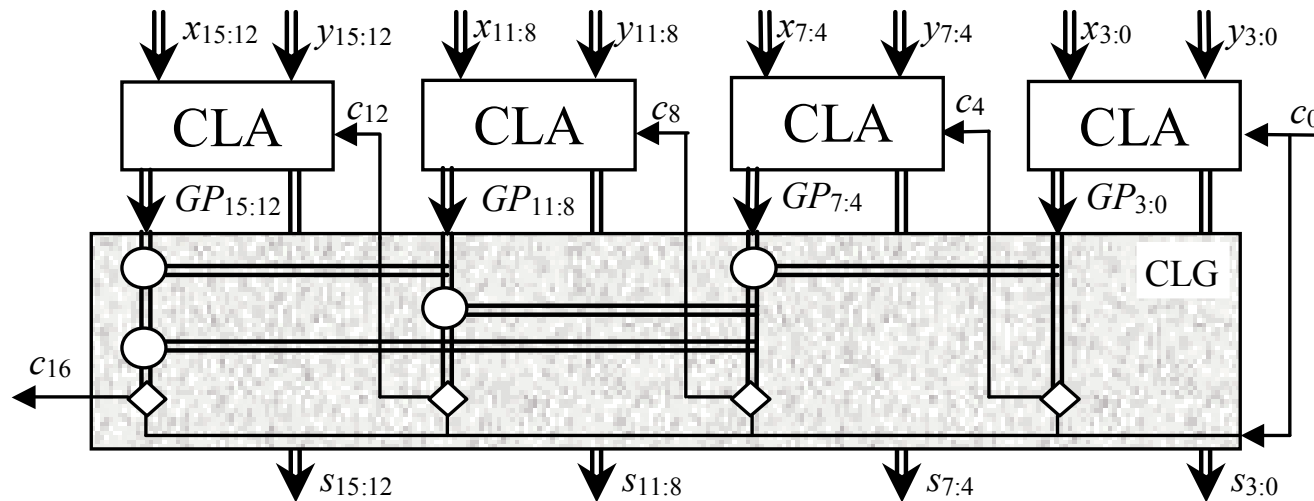
Alternatywny moduł CLA (bramki 2-we)



Wielomodułowe sumatory z antycypacją przeniesień (CLA)

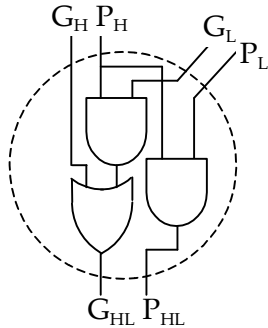


Sumator zbudowany z kaskady bloków CLA



Sumator 16-bitowy CLA z blokiem wytwarzania przeniesień CLG

Struktura logiczna funkcji G i P



$$(G_{HL}, P_{HL}) = (G_H, P_H) \circ (G_L, P_L) = (G_H + P_H G_L, P_H P_L)$$

W bloku sumatora/subtraktora, który obejmuje pozycje od i do k ($HL = i:k$) i zawiera sąsiadujące bloki $H = k:s+1$ oraz $L = s:i$ ($i \leq s \leq k$) mamy odpowiednio:

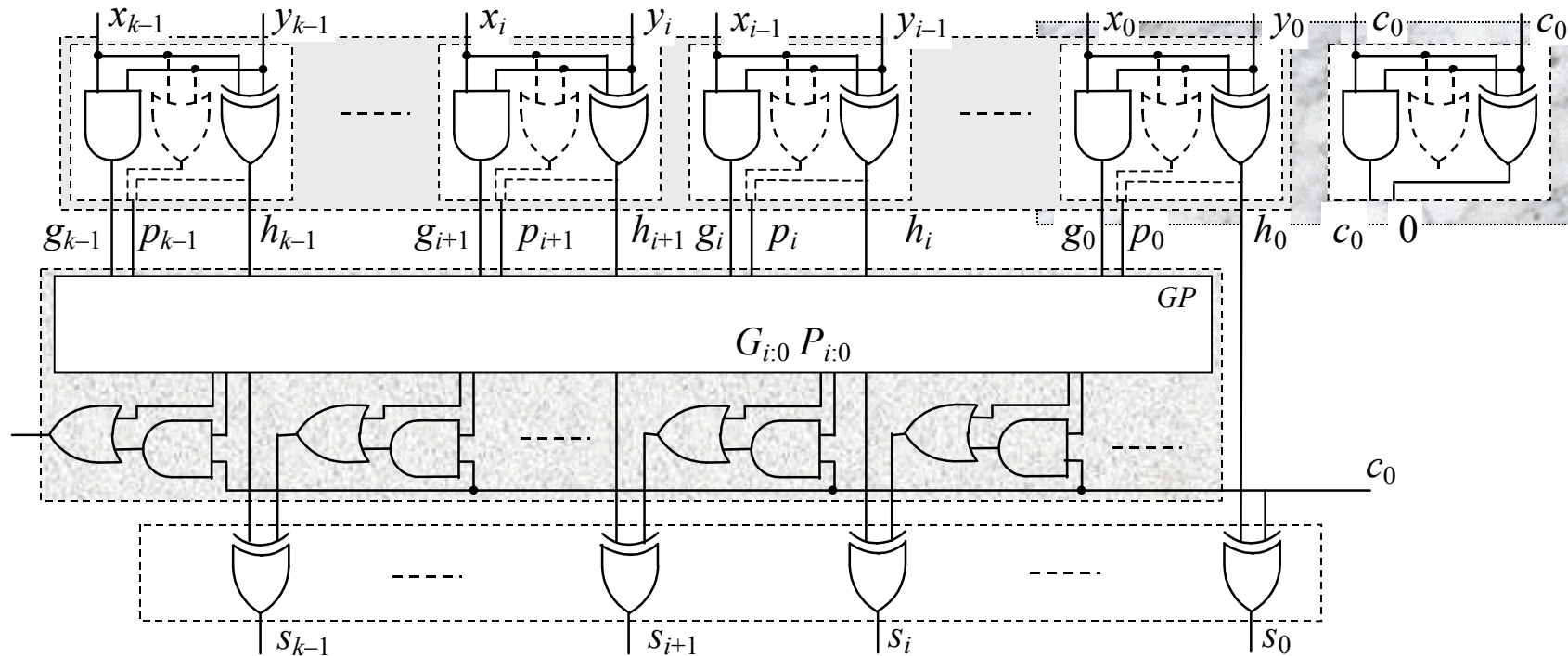
$$G_{k:i} = G_{k:s+1} + P_{k:s+1} G_{s:i},$$

$$P_{k:i} = P_{k:s+1} P_{s:i}$$

przy tym: $G_{k:k} = g_k = x_k y_k$ i $P_{k:k} = p_k = x_k + y_k$ (lub $P_{k:k} = h_k = x_k \oplus y_k$).

- wartość bitu sumy s_i zależy od półsumy h_i , oraz przeniesienia c_i : $s_i = h_i \oplus c_i$
- przeniesienie zależy od funkcji G oraz P : $c_i = G_{i-1:0} + P_{i-1:0} c_0$
- wytworzenie funkcji $G_{i:0}, P_{i:0}$ można wykonać w sekwencji $\lceil \log_2 n \rceil$ działań

Podstawowa struktura sumatora prefikсового (PPA)



sumator prefikсовy (ang. *parallel prefix adder*, PPA) – blok GP:

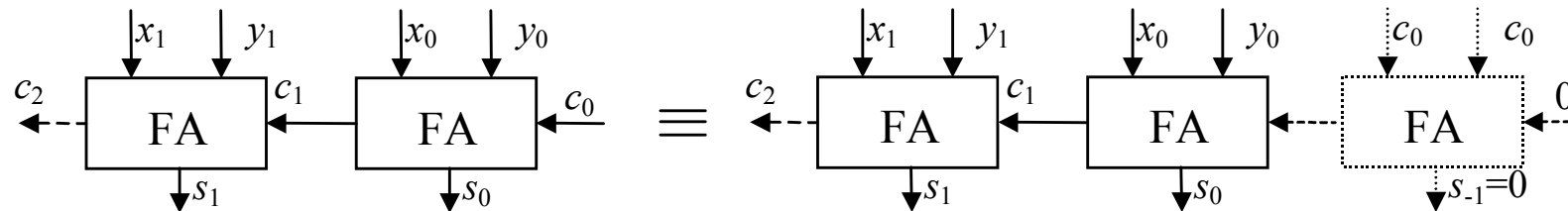
– przeniesienia równoległe $c_i = G_{i-1:0} + P_{i-1:0}c_0$, zamiast sekwencji $c_{i+1} = g_i + p_i c_i$

$$s_i = h_i \oplus c_i = h_i \oplus (G_{i-1:0} + P_{i-1:0}c_0)$$

– jeśli $c_0=0$, to $c_i = G_{i-1:0}$ i wtedy $s_i = h_i \oplus c_i = h_i \oplus G_{i-1:0}$, $s_0 = h_0$

Sumator prefiksowy rozszerzonej precyzji z redukcją rozgałęzienia c_{IN}

problem: silne rozgałęzienie przeniesienia wejściowego c_{in} , gdy $c_0 \neq 0$, ale:



Uniknięcie rozgałęziania $c_{in}=c_0$ w obliczaniu $c_i = G_{i-1:0} + P_{i-1:0}c_0$ można więc uzyskać traktując c_0 jako przeniesienie z pozycji „-1”, gdy jednocześnie $c_{-1}=0$ i $s_{-1}=0$. Tak będzie, gdy $x_{-1}=y_{-1}=c_0$. Wtedy $g_{-1}=c_0$, $p_{-1}=0$ oraz $s_{-1}=0$ (poprawne rozszerzenie), co jest równoważne zastąpieniu sygnału g_0 przez

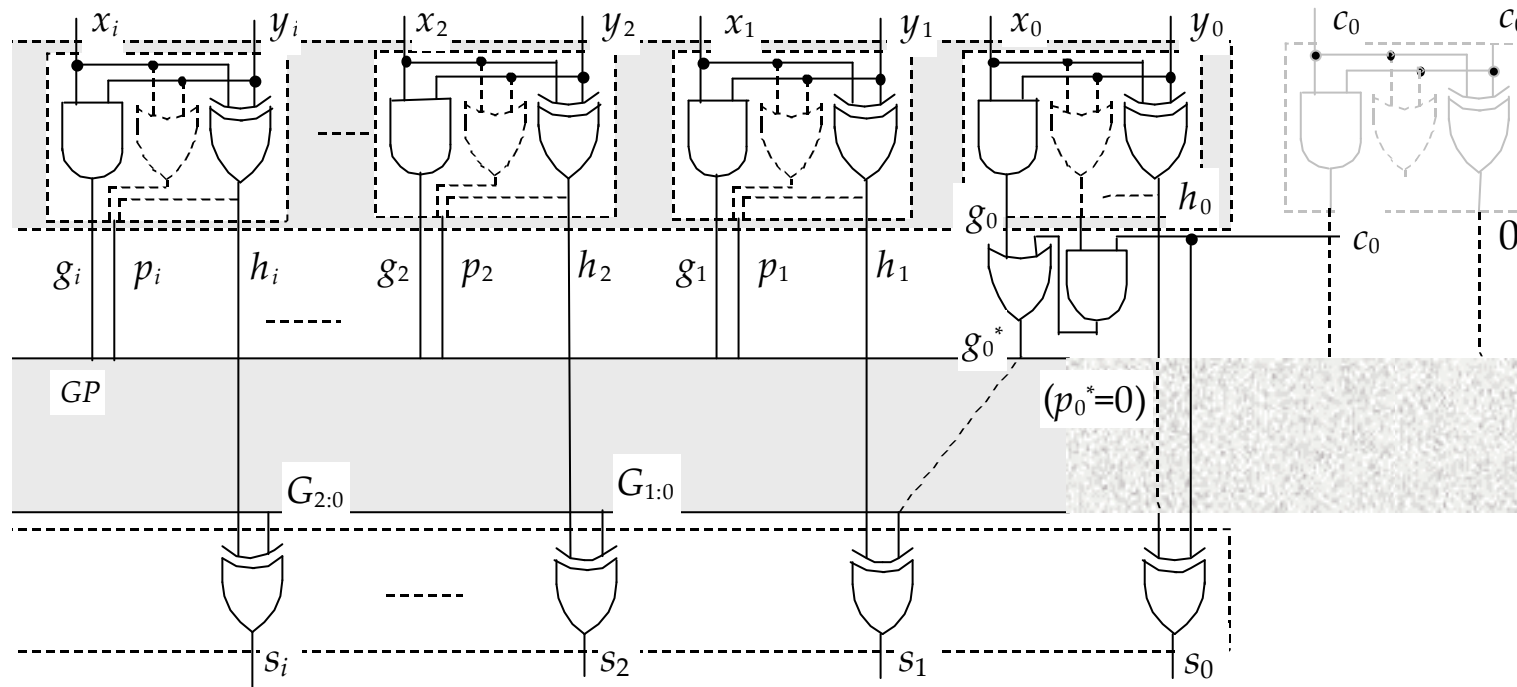
$$g_0^* = G_{0:-1} = g_0 + p_0 g_{-1} = g_0 + p_0 c_0$$

Alternatywny sygnał $p_0^* = P_{0:-1} = p_0 p_{-1} = 0$, bo $p_{-1}=0$, wtedy $P_{i-1:0}^* = P_{i-1:-1} = 0$ a w sumatorze obejmującym pozycje od -1 do $n-1$ jest ($s_0 = h_0 \oplus c_0$):

$$s_i = h_i \oplus c_i = h_i \oplus G_{i-1:-1} = h_i \oplus (G_{i-1:1} + P_{i-1:1} g_0^*) = h_i \oplus G_{i-1:0}^*.$$

Rozwiązanie to nie wnosi dodatkowego opóźnienia – korekta wejściowa wnosi takie opóźnienie jak obliczenie c_i .

Sumator prefiksowy rozszerzonej precyzji z redukcją rozgałęzienia c_{IN}



Jeśli c_0 jest przetworzone w bloku wstępnym, to $c_i = G_{i-1:0}$. Są dwa schematy:

$$A) (c_{\#}, 0) = \dots \circ \{(g_3, p_3) \circ (g_2, p_2)\} \circ \{(g_1, p_1) \circ [(g_0, p_0) \circ (c_0, 0)]\}$$

$$B) (c_{\#}, 0) = \dots \circ (g_3, p_3) \circ [(g_2, p_2) \circ (g_1, p_1)] \circ [(g_0, p_0) \circ (c_0, 0)]$$

Dodatkowa korzyść - uproszczone wykrywanie nadmiaru U2:

$$ov = G_{n-1:0} \oplus G_{n-2:0} = (g_{n-1} + p_{n-1} G_{n-2:0}) \oplus G_{n-2:0} = \bar{g}_{n-1} G_{n-2:0}$$

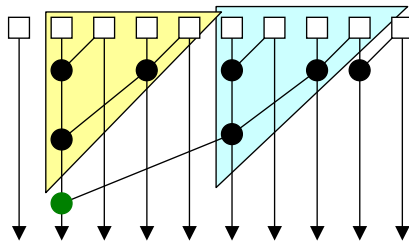
Zasady konstrukcji sieci prefiksowej GP

Węzeł sieci GP realizuje **dwie** funkcje (G_{HL} i P_{HL}) **czterech** zmiennych (G_H, P_H, G_L, P_L)

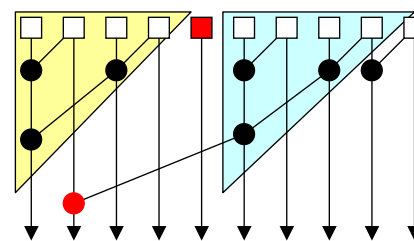
$$(G_{HL}, P_{HL}) = (G_H, P_H) \circ (G_L, P_L) = (G_H + P_H G_L, P_H P_L)$$

Zasady tworzenia struktury GP integrującej funkcje G_H, P_H oraz G_L, P_L

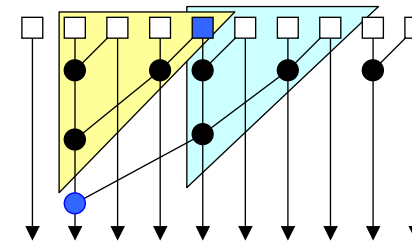
- bloki H i L **powinny być rozdzielnie sąsiadujące**
- bloki H i L **nie mogą być rozdzielone innym blokiem**
- bloki H i L **mogą mieć część wspólną** – funkcje G_{HL} i P_{HL} są **nadmiarowe**



graf optymalny



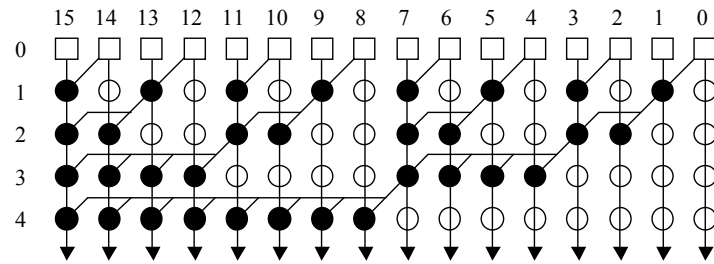
graf błędny



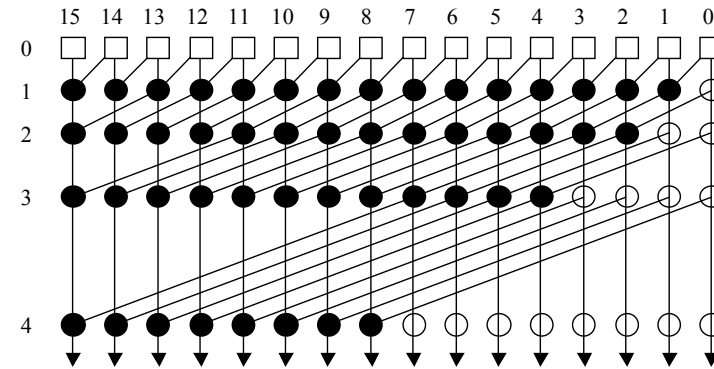
graf poprawny

- \square – wytwarzanie $G_{ii}=g_i$ i $P_{ii}=p_i$, \bullet – operator: $(G_{HL}, P_{HL}) = (G_H, P_H) \circ (G_L, P_L)$
- regularne struktury dla $n=2^k$ wejść (pozycji),
- w innych przypadkach przyjąć $k=\text{int}(1+\log_2 n)$ i usunąć zbędne gałęzie (sieć integrującą 2^{k-1} pozycji połączyć siecią integrującą pozostałe wejścia)

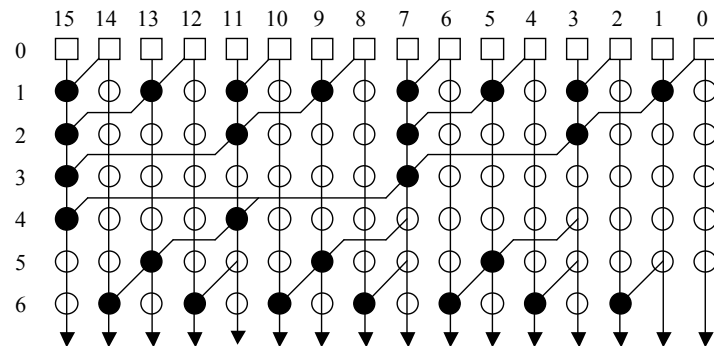
Grafy sieci równoległego generowania i propagacji przeniesienia (PPA)



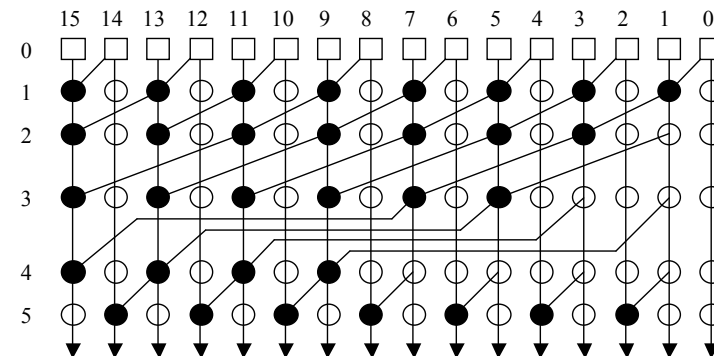
Graf prefixowy (Sklansky / Ladner-Fischer) (16 b)



Graf prefixowy (Kogge & Stone) (16 b)



Graf prefixowy (Brent-Kung) (16 b)



Graf prefixowy – (Han & Carlson) (16 b)

□ – wytwarzanie funkcji $G_{i:i}=g_i$ oraz $P_{i:i}=p_i$ ○ – przekazywanie G, P bez zmiany

● – operator prefiksowy $(G_{HL}, P_{HL}) = (G_H, P_H) \circ (G_L, P_L)$

Charakterystyki grafów prefiksowych

- Ladner-Fischer* – $\log_2 n$ poziomów logicznych, minimum elementów GP
nierównomierne obciążenia (*Sklansky*)
- Kogge & Stone* – $\log_2 n$ poziomów logicznych, więcej elementów GP, rozłożona
obciążalność wyjść
- Brent-Kung* – $>\log_2 n$ poziomów logicznych, mniej elementów GP,
stała obciążalność wyjść
- Han & Carlson* – $>\log_2 n$ poziomów logicznych, najmniej elementów GP,
najmniejsza obciążalność wyjść

Parametry sieci GP jako elementy PPA

Typ struktury	liczba ogniw GP	l. poziomów	obciążenie	przełączenia
RCA	$\frac{2}{3} n$	$n-1$	2	$n/2$
<i>Ladner-Fischer</i>	$\frac{1}{2} n \log_2 n$	$\log_2 n$	$n/2$	$\frac{1}{4} n \log_2 n$
<i>Brent-Kung</i>	$2n - n \log_2 n - 2$	$2 \log_2 n - 2$	$\log_2 n + 1$	$\sim \frac{3}{8} n \log_2 n$
<i>Kogge & Stone</i>	$n \log_2 n - n + 1$	$\log_2 n$	2	$\frac{1}{2} n \log_2 n$
<i>Han & Carlson</i>	$\frac{1}{2} n \log_2 n$	$\log_2 n + 1$	2	$\frac{1}{4} n \log_2 n$

Sumator ELM – koncepcja*

Obliczona wartość początkowa sumy $h_i = s_{i:i}$ na może ulec zmianie, jeśli $c_i = 1$.

Niech $s_{i:r}$ oznacza *tymczasową* sumę na pozycji i z uwzględnieniem wszystkich wcześniejszych wejść $x_\#, y_\#$, począwszy od wejścia x_r, y_r . Mamy:

$$\begin{aligned} s_{i:r} &= h_i \oplus G_{i-1:r}, \\ s_{i:0} &= h_i \oplus (G_{i-1:0} + H_{i-1:0} c_0) \end{aligned}$$

Z rekurencyjnego powiązania funkcji $G_{i:j}$ wynika dalej, że ($i > r > j$):

$$\begin{aligned} s_{i:j} &= h_i \oplus G_{i-1:j} = h_i \oplus G_{i-1:r} \oplus G_{i-1:r} \oplus (G_{i-1:r} + H_{i-1:r} G_{r-1:j}) = \\ &= s_{i:r} \oplus (G_{i-1:r} \oplus (G_{i-1:r} + H_{i-1:r} G_{r-1:j})) = s_{i:r} \oplus \bar{G}_{i-1:r} H_{i-1:r} G_{r-1:j}, \end{aligned}$$

Metodą indukcji można pokazać, że $\bar{G}_{i:j} H_{i:j} = h_i \bar{G}_{i-1:j} H_{i-1:j} = H_{i:j}$, skąd mamy:

$$\begin{aligned} s_{i:r} &= h_i \oplus G_{i-1:r}, \\ s_{i:j} &= s_{i:r} \oplus H_{i-1:r} G_{r-1:j}. \end{aligned}$$

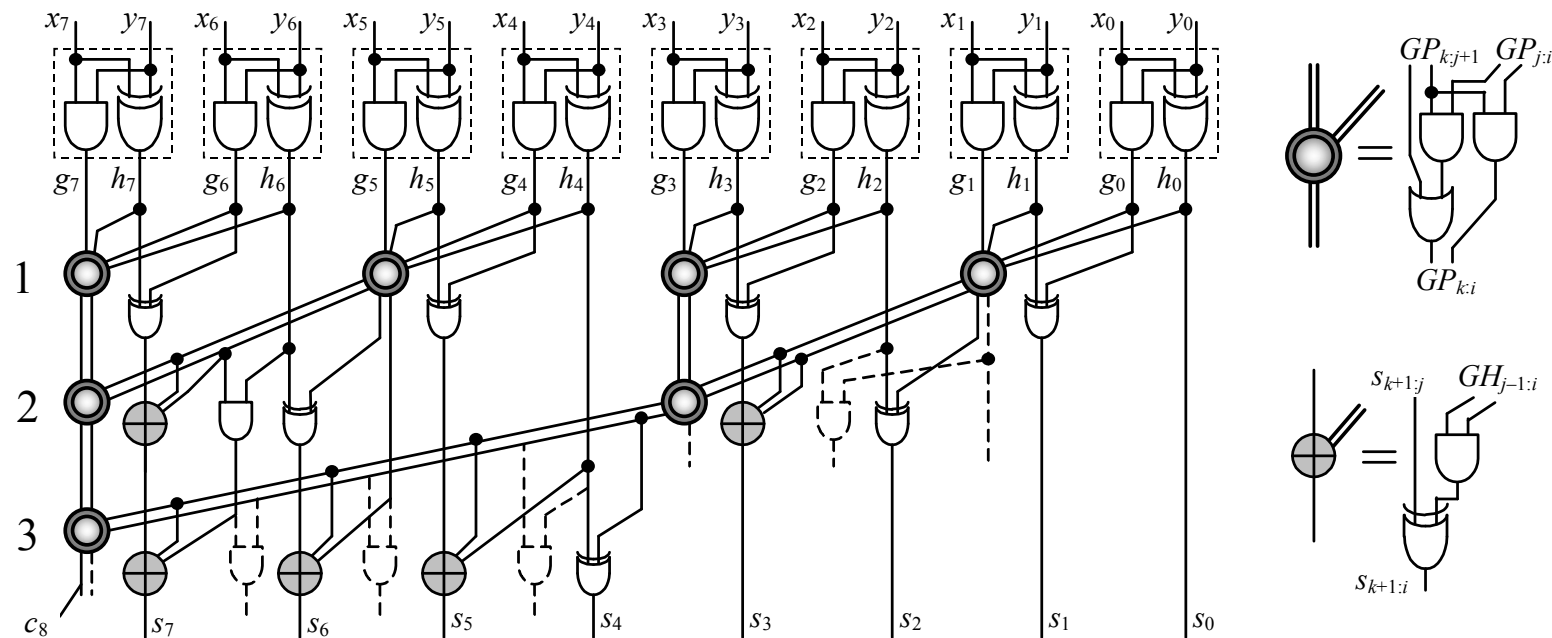
przy tym bitami końcowej sumy są $s_i = s_{i:0}$.

Ponieważ powyższe funkcje są niezależne, więc możliwe jest wytworzenie sumy końcowej w strukturze zawierającej $\log_2 n$ poziomów.

Jeśli $c_0 \neq 0$ należy, jak w sumatorze PPA, przyjąć $g_0^* = g_0 + h_0 c_0$ oraz $h_0^* = 0$.

Sumator ELM - korekcja sum tymczasowych*

Z podanych zależności wynika zasada konstrukcji sumatora, podobna jak PPA



Schemat sumatora ELM (struktura Ladnera-Fischera) przy $c_0=0$.

Powiązania sum można także zrealizować w strukturze Kogge'a-Stone'a

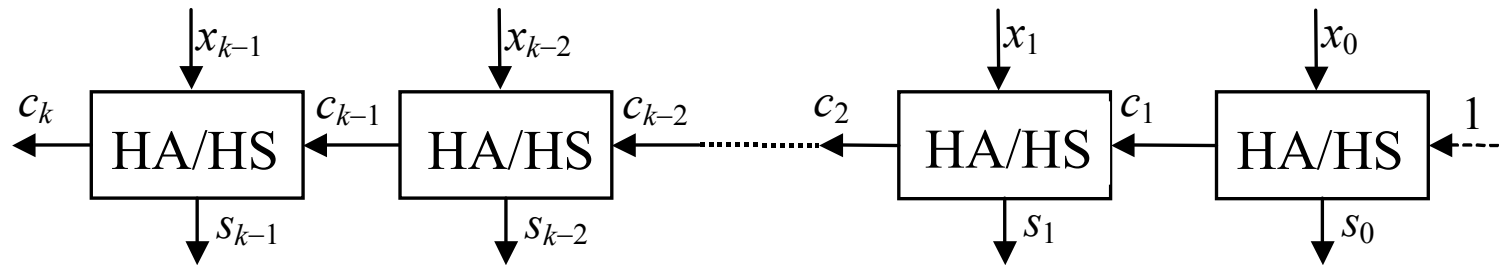
Inkrementer i dekrementer

wykonuje działanie $X+1$ (inkrementer) albo $X-1$ (dekrementer)

→ wystarczy łańcuch półsumatorów (HA) lub półsubtraktorów (HS)

półsumator (*half adder*, HA) – realizuje funkcje $s_i = x_i \oplus c_i$, $c_{i+1} = x_i c_i$

półsubtraktor (*half subtracter*, HS) – realizuje funkcje $s_i = x_i \oplus c_i$, $c_{i+1} = \bar{x}_i c_i$



Układy inkrementera i dekrementera są *komplementarne*, bo $X-1 = \overline{\overline{X}} + 1$

układ zliczający – inkrementer/dekrementer ze sprzężeniem $x_i^{(t+1)} = s_i^{(t)}$

i zapamiętywaniem stanu $S(t) = \{s_{k-1}^{(t)}, s_{k-2}^{(t)}, \dots, s_1^{(t)}, s_0^{(t)}\}$

Inkrementer i dekrementer prefiksowy

Ponieważ układy inkrementera i dekrementera są *komplementarne*, bo $X - 1 = \overline{\overline{X}} + 1$, wystarczy zbudować jeden z nich. Przeanalizujemy budowę inkrementera.

Założenie: Jedynkę traktujemy jako $c_0 = 1$, więc argumentami są X , $Y=0$ i $c_0 = 1$.

Blok wejściowy:

Na każdej pozycji jest: $g_i = G_{i:i} = x_i \wedge 0 = 0$, $p_i = P_{i:i} = x_i \oplus 0 = x_i = h_i$. Wobec tego:

$$(c_{i+1}, 0) = (0, x_i) \circ \dots \circ (0, x_3) \circ (0, x_2) \circ (0, x_1) \circ (0, x_0) \circ (1, 0)$$

Stąd wynika, że $c_i = P_{i-1:0} = x_{i-1} \dots x_1 x_0$ oraz $s_i = x_i \oplus P_{i-1:0}$

A zatem:

1. Blok wejściowy jest zbędny ($g_i = 0$, $p_i = h_i = x_i$)
2. Węzłem sieci prefiksowej jest więc bramka iloczynu logicznego $P_{HL} = P_H P_L$
3. Blok sumy zawiera 2-wejściowe bramki XOR realizujące $s_i = x_i \oplus P_{i-1:0}$

Dekrementer powstaje przez zanegowanie wszystkich bitów argumentu oraz wszystkich bitów sumy.

SUMATORY WARUNKOWE I INNE

Sumy warunkowe – koncepcja (Sklansky)

L	$x_i + y_i$	1+0	0+0	1+1	1+0	0+1	1+1	1+0	0+1
0	c_{i+1}^0	0	0	1	0	0	1	0	0
	$s_{i:i}^0$	1	0	0	1	1	0	1	1
	c_{i+1}^1	1	0	1	1	1	1	1	—
	$s_{i:i}^1$	0	1	1	0	0	1	0	—
1	c_{2i+2}^0	0		1		1		0	
	$s_{2i+1:2i}^0$	1	0	0	1	0	0	1	1
	c_{2i+2}^1	0		1		1		—	—
	$s_{2i+1:2i}^1$	1	1	1	0	0	1	—	—
2	c_{4i+4}^0	0				1			
	$s_{4i+3:4i}^0$	1	1	0	1	0	0	1	1
	c_{4i+4}^1	0				—	—	—	—
	$s_{4i+3:4i}^1$	1	1	1	0	—	—	—	—
$s_{7:0}^3$		1	1	1	0	0	0	1	1

Sumator sum warunkowych (*conditional sum adder, COSA*)*

Tworzenie alternatywnych sum jedno-, dwu-, cztero-, ośmio-, ...-bitowych

Poziom 0 – sumy i przeniesienia warunkowe dla osobnych bitów ($i=0,1,\dots$)

$$x_i + y_i + 0 = 2c_{ii}^0 + s_{ii}^0 \quad \text{oraz} \quad x_i + y_i + 1 = 2c_{ii}^1 + s_{ii}^1$$

$$\mathbf{s}_{ii} = \{s_{ii}^0, s_{ii}^1\} = \{x_i \oplus y_i, x_i \equiv y_i\}$$

$$\mathbf{c}_{i+1} = \{c_{i+1}^0, c_{i+1}^1\} = \{x_i y_i, x_i + y_i\}$$

Poziom p (|| – złożenie wektorów)

– warunkowe sumy $\mathbf{s}_{2ri+2r-1,2ri}^\alpha$ i przeniesienia $c_{2r(i+1)}^\alpha$ grup $r=2^p$ bitów,

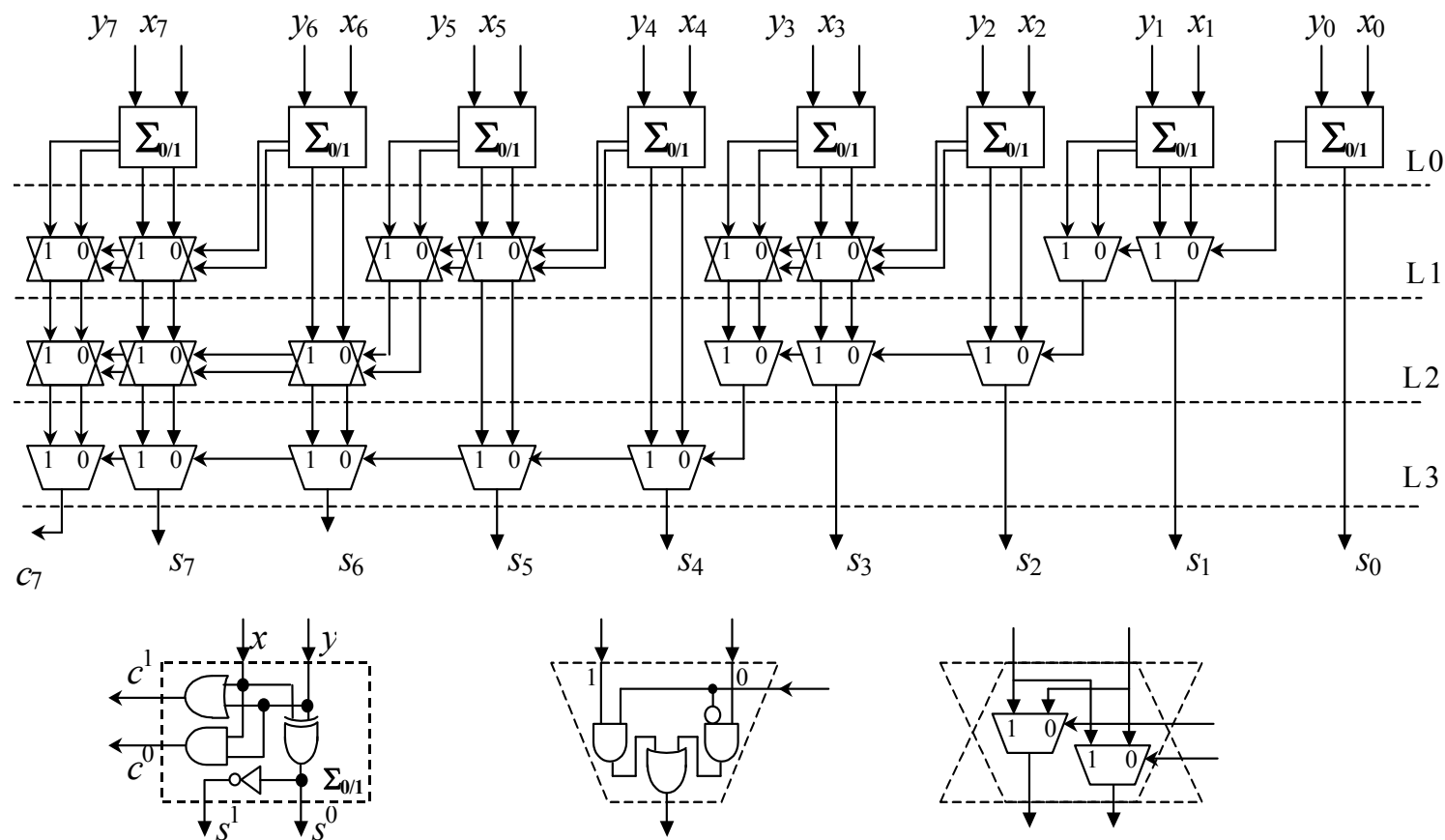
– dla $i=0,1,\dots,\lceil n \cdot 2^{-p} \rceil - 1$

$$\mathbf{s}_{2ri+2r-1,2ri}^\alpha = [c_{2ri+r}^\alpha \mathbf{s}_{2ri+2r-1,2ri+r}^1 + (1 - c_{2ri+r}^\alpha) \mathbf{s}_{2ri+2r-1,2ri+r}^0] \parallel \mathbf{s}_{2ri+r-1,2ri}^\alpha,$$

$$c_{2r(i+1)}^\alpha = c_{2ri+r}^\alpha c_{2ri+2r}^1 + (1 - c_{2ri+r}^\alpha) c_{2ri+2r}^0$$

Końcowy wynik sumowania powstaje na poziomie $k = \lceil \log_2 n \rceil$ ($r=2^k$).

Schemat sumatora sum warunkowych



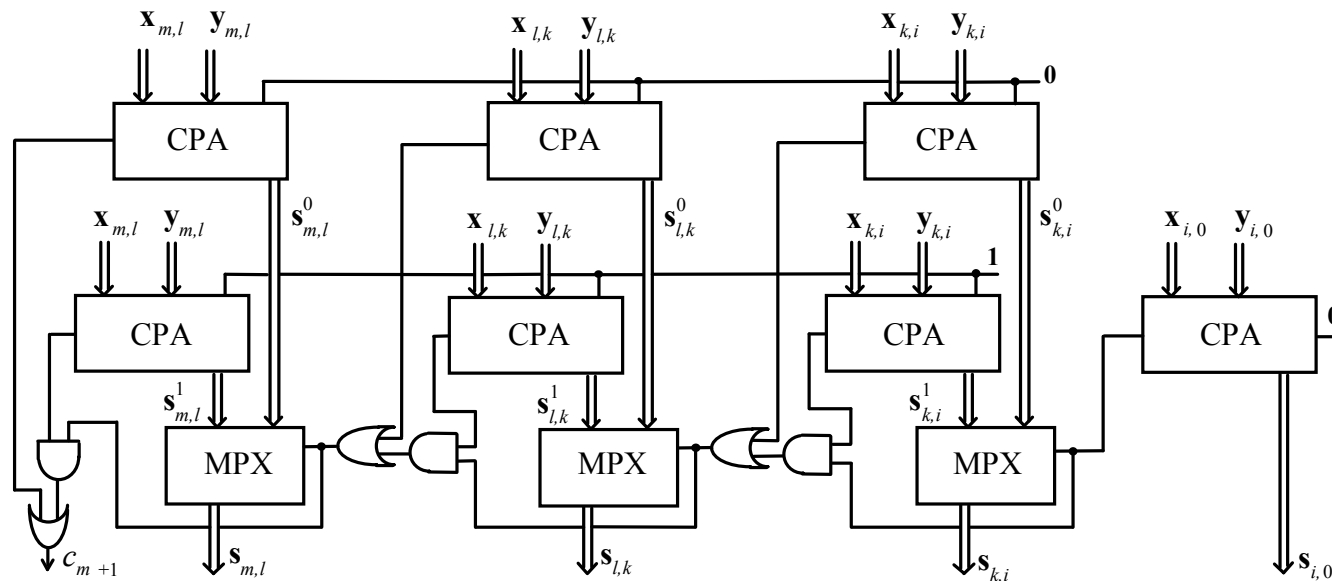
Ośmiobitowy sumator sum warunkowych

$$T = 2 \lceil \log_2 2n \rceil, \quad A = \frac{1}{2}(n \log_2 n + 2n \log_2 n) = 3n \log_2 n$$

Sumator sterowany przeniesieniem (CSLA)

Sumator multipleksowany sterowany przeniesieniem (carry-select adder)

składanie k_i -pozycyjnych alternatywnych sum zależnie od przeniesienia
tworzonego w szeregowym łańcuchu propagacji



Schemat logiczny sumatora multipleksowanego sterowanego przeniesieniem

Sumy blokowe obliczane jednocześnie \Rightarrow wyższe bity \rightarrow większe bloki

Opóźnienie $\rightarrow 2\sqrt{2n}$ (optymalna liczba bloków $\rightarrow \sqrt{2n}$)

Szybkość działania i złożoność sumatorów

Charakterystyki AT

- sumator pełny 1-bitowy FA – $A=7, T=2+2 \rightarrow AT=28$
– $2 \times \text{XOR}, 1 \times \text{OR}, 2 \times \text{AND} \rightarrow$ opóźnienie przeniesienia 2, sumy $2+2$
- sumator RCA – $A=7n, T=2n \rightarrow AT=14n^2$
– $n \times \text{FA} \rightarrow$ opóźnienie przeniesienia $2n$
- sumator kaskadowy CLA – $A \approx 7n, T \approx 4 \log n \rightarrow AT \approx 56n \log n$
– $n \times \text{FA} \rightarrow \log n$ bloków, opóźnienie przeniesienia $2 \cdot 2 \log n$
- sumator PPA – $A \approx 5n + 3n \log \sqrt{n}, T \approx 3 + 2 \log n \rightarrow AT \approx 3n \log^2 n + 14n \log n$
– $\log n$ poziomów GP, opóźnienie przeniesienia $2 \log n$
- sumator COSA – $A=3n \log n, T=2+2 \log n \rightarrow AT \approx 6n \log^2 n$
– $2 \times \text{RCA}, \log n$ poziomów MPX, opóźnienie przeniesienia $2 \cdot \log n$
- sumator CSKA – $A \approx 8n, T \approx 2 \cdot 2\sqrt{n} \rightarrow AT \approx 32n\sqrt{n}$
– $n \times \text{FA} + 2\sqrt{n} \times \text{MPX}, 2\sqrt{n}$ bloków \rightarrow opóźnienie przeniesienia $2 \cdot 2\sqrt{n}$
- sumator CSLA – $A \approx 2 \cdot 7n, T \approx 2\sqrt{2n} \rightarrow AT \approx 39n\sqrt{n}$
– $2 \times \text{RCA}, \sqrt{2n}$ bloków, opóźnienie przeniesienia $2 \cdot \sqrt{2n}$

Moduły sumatorów i subtraktorów i ich połączenia (1)

Sumator/subtraktor – układ realizujący dodawanie/odejmowanie na ustalonej liczbie pozycji, wtedy $c_0=0$.

Moduł sumatora/subtraktora – **element konstrukcyjny** realizujący algorytm dodawania/odejmowania pozycyjnego z użyciem przeniesienia/pożyczki.

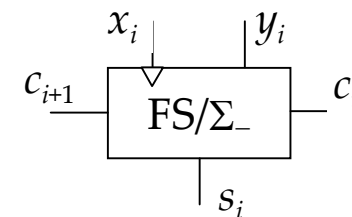
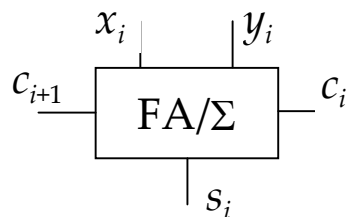
Podstawowy moduł sumatora/subtraktora dwójkowego – jednopozycyjny sumator/subtraktor dwójkowy (FA/FS) (wejście odjemnej oznaczone):

$$s_i = x_i \oplus y_i \oplus c_i = h_i \oplus c_i$$

$$\begin{aligned} \text{sumator: } c_{i+1} &= x_i y_i + (x_i \oplus y_i) c_i = \\ &= x_i y_i + (x_i + y_i) c_i = g_i + p_i c_i \end{aligned}$$

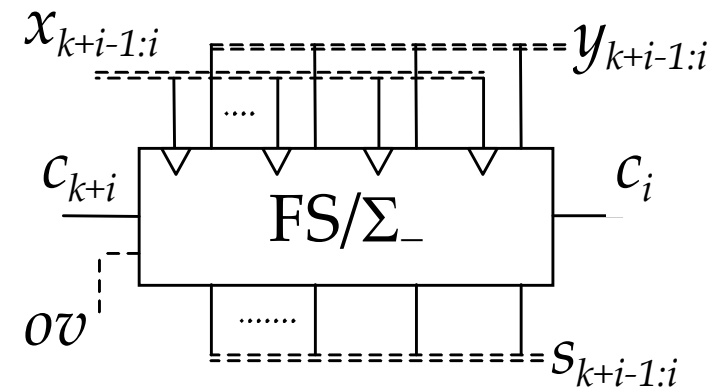
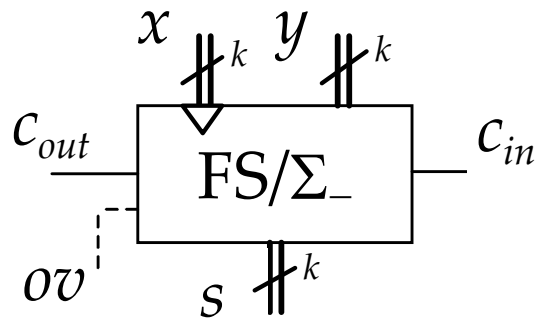
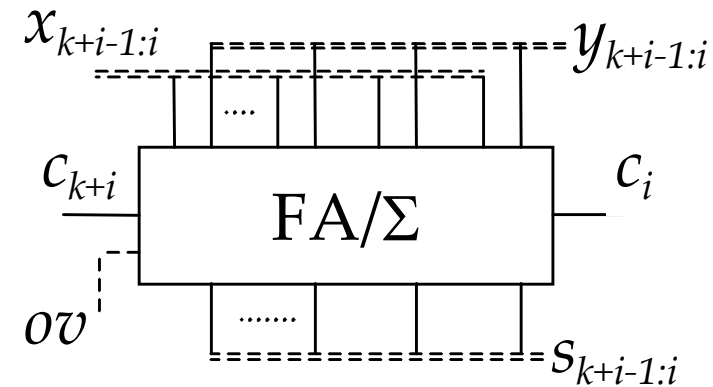
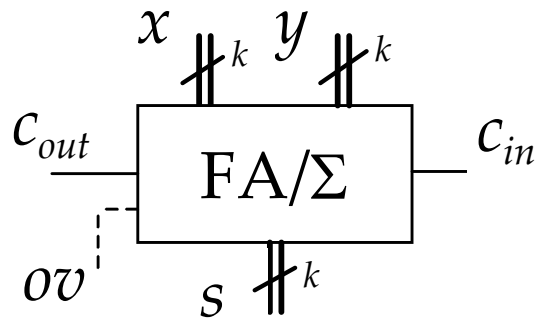
$$\bar{s}_i = \bar{x}_i \oplus y_i \oplus c_i = h_i \oplus c_i$$

$$\begin{aligned} \text{subtraktor: } c_{i+1} &= \bar{x}_i y_i + (\bar{x}_i \oplus y_i) c_i = \\ &= \bar{x}_i y_i + (\bar{x}_i + y_i) c_i = g_i + p_i c_i \end{aligned}$$



Moduły sumatorów i subtraktorów

Moduł sumatora/subtraktora k -pozycyjnego – element konstrukcyjny realizujący algorytm dodawania/odejmowania *jednopozycyjnego* w podstawie $\beta^k (2^k)$



Połączenia modułów sumatorów i subtraktorów

Podstawowym objawem przekroczenia zakresu w kodzie uzupełnieniowym jest niezgodność pozycji lewostronnego rozszerzenia sumy/różnicy z wartością obliczoną na najwyższej pozycji dodawania/odejmowania.

Równoważnym objawem jest niezgodność przeniesień na i z najwyższej pozycji.

Moduł dwójkowego **kodu uzupełnieniowego** (U2) **wytwarza** sygnał niezgodności przeniesień na i z najwyższej pozycji $ov = c_{k+i} \oplus c_{k+i-1}$,

moduł dla dwójkowego **kodu naturalnego** (NB) **nie ma** takiego wyjścia.

Moduł przeznaczony do użycia w szybkich układach może mieć również wyprowadzone sygnały modułowej generacji i propagacji przeniesień (np. CLA)